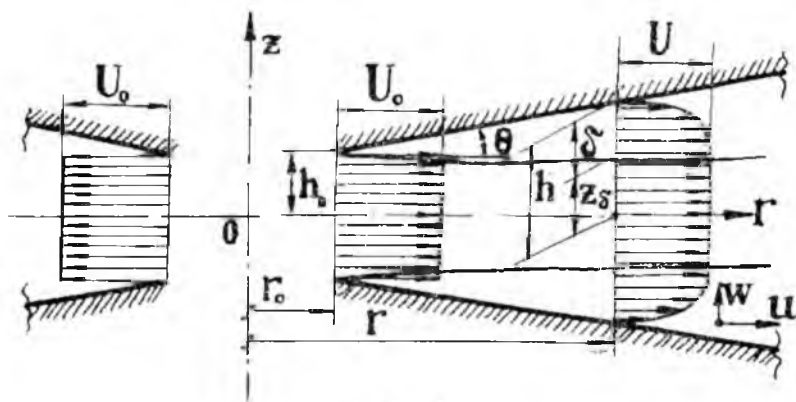


А. К. ЧИГУРИН

ТУРБУЛЕНТНЫЙ ПОГРАНИЧНЫЙ СЛОЙ НА ВХОДНОМ УЧАСТКЕ РАДИАЛЬНОГО ДИФфуЗОРА

Радиальный диффузор представляет собой канал, образованный в общем случае двумя соосными поверхностями вращения (фиг. 1). Диффузоры этого типа являются элементами компрессорных машин, вихревых холодильников, аппаратов на воздушной подушке (АВП).

Течение в таких каналах характеризуется значительным продольным градиентом давлений, сильно влияющим на профиль ско-



Фиг. 1.

ростей и, следовательно, на сопротивление канала. В большинстве случаев при исследовании пограничного слоя в условиях внутренней задачи используют наперед заданный профиль скоростей — степенной или логарифмический, которые, как известно, хорошо согласуются с экспериментом только для плоской пластинки.

В частности, степенной закон распределения скоростей был использован в [4] применительно к безлопаточному диффузору компрессора, что неточно отражает фактическую картину течения, так как при наличии продольного градиента давлений профили скоростей нельзя считать подобными в каждом последующем сечении. Кроме того, такой подход не дает возможности определить точку отрыва пограничного слоя, которую приходится находить искусственным путем, как это сделано в [4].

Целесообразнее не задавать профиль скоростей заранее, а находить его из условий конкретной задачи, используя дифференциальные уравнения движения и граничные условия, как в [1, 2, 4, 5].

Рассмотрим пограничный слой при радиальном течении вязкой несжимаемой жидкости в диффузоре, образованном двумя дисками или конусами с малым углом раствора Θ^0 (см. фиг. 1).

Сделаем следующие допущения: течение обладает центральной симметрией относительно оси z , а также симметрично относительно оси r в плоскости чертежа; профиль скоростей на входе при $r=r_0$ (фиг. 1) равномерен; пограничный слой турбулентен с самого начала; ядро течения подчиняется законам потенциального движения, и скорость по его сечению постоянна; статическое давление постоянно в каждом сечении потока и равно давлению в потенциальном ядре; все компоненты тензора напряжений пренебрежимо малы по сравнению с τ_{zr} .

$$\hat{r} = h - z_{\delta}, \quad \hat{z} = \frac{h - z}{\delta}.$$

Уравнения Рейнольдса в нашем случае (в цилиндрической системе координат) имеют вид:

$$\left. \begin{aligned} \omega \frac{\partial v}{\partial z} + u \frac{\partial u}{\partial r} = - \frac{1}{\rho} \cdot \frac{dp}{dr} + \frac{1}{\rho} \cdot \frac{\partial \tau}{\partial z} \end{aligned} \right\} \quad (1)$$

$$\frac{\partial u}{\partial r} + \frac{\partial \omega}{\partial z} + \frac{u}{r} = 0 \quad (2)$$

где ω и u — радиальная и осевая осредненные составляющие скорости в пограничном слое;

p — статическое давление;

ρ — массовая плотность;

τ — касательное напряжение.

Граничные условия задачи:

$$u = \omega = 0 \text{ на стенке при } z = h \quad (3)$$

$$u = U \text{ на внешней границе слоя при } z = z_{\delta}.$$

ПРОФИЛЬ СКОРОСТЕЙ И ЗАКОН СОПРОТИВЛЕНИЯ

Для получения профиля скоростей разложим касательное напряжение в ряд Тейлора вблизи стенки:

$$\tau = \tau_0 + \left(\frac{\partial \tau}{\partial z} \right)_{z=h} (h-z) + \frac{1}{2} \left(\frac{\partial^2 \tau}{\partial z^2} \right)_{z=h} (h-z)^2 + \frac{1}{6} \left(\frac{\partial^3 \tau}{\partial z^3} \right)_{z=h} (h-z)^3 + \dots \quad (4)$$

где τ_0 — напряжение на стенке.

Коэффициенты ряда найдем последовательным дифференцированием уравнения (1) с помощью (2) и граничных условий (3). Ограничиваясь первыми тремя членами разложения, получим:

$$\tau = \tau_0 + \frac{dp}{dr} (h-z) = \tau_0 (1 + \lambda \bar{z}), \quad (5)$$

где $\bar{z} = \frac{h-z}{b}$; $\lambda = \frac{dp}{dr} \cdot \frac{b}{\tau_0}$ — формпараметр.

Применим гипотезу Прандтля о пути смешения:

$$\tau = \rho l^2 \left(\frac{\partial u}{\partial z} \right)^2. \quad (6)$$

$$l = k(h-z), \quad (7)$$

где $k = k(\lambda)$ — функция, зависящая от продольного градиента давлений; для плоской пластинки $k = 0,4 = \text{const}$ (1).

Подставив (5) в (6) с учетом (7), получим следующее дифференциальное уравнение:

$$\frac{\partial u}{\partial z} = \frac{v_*}{k} \cdot \frac{\sqrt{1 + \lambda \bar{z}}}{\bar{z}}, \quad \text{где } \bar{z} = \frac{h-z}{b}, \quad v_* = \sqrt{\frac{\tau_0}{\rho}}.$$

Интегрируя его по z с использованием граничных условий (3) для определения постоянной интегрирования, получим формулу для профиля скоростей в турбулентном пограничном слое:

$$\frac{u}{v_*} = \bar{u} = 1 + \frac{1}{\alpha} \left[2 \left(\sqrt{1 + \lambda \bar{z}} - \sqrt{1 + \lambda} \right) + \ln \frac{(\sqrt{1 + \lambda \bar{z}} - 1)(\sqrt{1 + \lambda} + 1)}{(\sqrt{1 + \lambda \bar{z}} + 1)(\sqrt{1 + \lambda} - 1)} \right], \quad (8)$$

где $\alpha = \frac{k \cdot l}{v_*}$.

Для получения закона сопротивления необходимо приравнять скорости в турбулентном пограничном слое и в ламинарном подслое на внешней границе последнего, где профили скоростей должны срачиваться.

Найдем вначале скорость в ламинарном подслое, для чего используем известное соотношение Кармана для толщины этого подслоя:

$$\delta_\lambda = \alpha \frac{y}{v_*}, \quad (9)$$

где $\alpha = \alpha \left(\frac{k}{Re} \right)$ — функция, которая должна быть определена опытным путем; для плоской пластинки

$$\alpha = 11,5 = \text{const}.$$

$$R_* = \frac{v_* \delta}{\nu}; \quad (10)$$

μ — кинематический коэффициент вязкости;
и закон вязкого трения для подслоя:

$$\tau = \mu \frac{\partial u}{\partial z}. \quad (11)$$

Подставляя (10) в (5), получим:

$$\frac{\partial u}{\partial z} = \frac{v_*^2 \delta}{\nu} (1 + \lambda z).$$

Проинтегрировав это уравнение аналогично (8), получим профиль скоростей в ламинарном подслое:

$$\frac{u_{\lambda}}{U} = \bar{u}_{\lambda} = z \frac{k}{x} \left(1 + \frac{\lambda}{2} \cdot z_{\lambda} \right) = z \frac{k}{x} \left(1 + \frac{x}{2} \frac{\lambda}{R_*} \right), \quad (12)$$

где u_{λ} — скорость в ламинарном подслое.

Из (9) и (10) следует:

$$\bar{z}_{\lambda} = \frac{u_{\lambda} - z_{\lambda}}{\delta} = \frac{\delta_{\lambda}}{\delta} = \frac{\alpha}{R_*}.$$

И, наконец, сравнивая (8) и (12), получим закон сопротивления

$$\begin{aligned} x = k \cdot z + \frac{k \cdot z^2}{2} \cdot \frac{\lambda}{R} + 2 \left(\sqrt{1 + \lambda} - \sqrt{1 + z \frac{\lambda}{R_*}} \right) + \\ + \ln \frac{\left(\sqrt{1 + z \frac{\lambda}{R_*}} + 1 \right) \left(\sqrt{1 + \lambda} - 1 \right)}{\left(\sqrt{1 + \lambda} - 1 \right) \left(\sqrt{1 + z \frac{\lambda}{R_*}} + 1 \right)} \end{aligned} \quad (13)$$

Найдем профиль скоростей и закон сопротивления в точке отрыва пограничного слоя.

Здесь напряжение τ_0 обращается в 0, а λ — в бесконечность. Тогда выражение (5) будет иметь вид:

$$\tau = \frac{dp}{dr} (h - z), \quad \text{при } \tau_0 = 0 \text{ и } \lambda \rightarrow \infty. \quad (14)$$

Подставив (14) в (6) с учетом (7), получим дифференциальное уравнение, которое проинтегрируем из условий на внешней границе слоя $u = U$ при $z = z_0$. После элементарных преобразований получим профиль скоростей в точке отрыва:

$$\frac{u}{U} = \bar{u} = 1 - \frac{2}{k_{\text{отр}} \cdot U} \cdot \sqrt{\frac{\delta_0}{\rho}} \cdot \frac{dp}{dr} \cdot (1 - \sqrt{\bar{z}}). \quad (15)$$

Для получения закона сопротивления поступим так же, как в предыдущем случае. Приравнявая (11) и (14) для ламинарного подслоя и проинтегрировав полученное уравнение, будем иметь профиль скоростей в ламинарном подслое:

на стенке

$$\frac{u_a}{U} = \bar{u}_a = \frac{\delta^2}{\rho \cdot U} \cdot \frac{dp}{dz} \cdot \frac{\bar{z}_a^2}{2} \quad \text{при } u = 0. \quad (16)$$

Приравнявая (15) и (16) на внешней границе ламинарного подслоя, получим закон сопротвления в точке отрыва:

$$1 - \frac{\delta^2}{\rho \cdot U} \cdot \frac{dp}{dr} \cdot \frac{\bar{z}_a^2}{2} = \frac{2}{k_{отр} \cdot U} \cdot \sqrt{\frac{\delta}{\rho} \cdot \frac{dp}{dr}} \cdot (1 - |\bar{z}_a|). \quad (17)$$

Полагая, что \bar{z}_a в точке отрыва мало, и пренебрегая величинами

$$\frac{\delta^2}{\rho \cdot U} \cdot \frac{dp}{dr} \cdot \frac{\bar{z}_a^2}{2} \quad \text{и} \quad \sqrt{\frac{\delta}{\rho}}$$

получим вместо (17):

$$\frac{2}{k_{отр} \cdot U} \sqrt{\frac{\delta}{\rho} \cdot \frac{dp}{dr}} = 1. \quad (18)$$

Выражение (18) является условием отрыва пограничного слоя. При этом $k = 0,267$ [5]. Подставив (18) в (15), найдем профиль скоростей в точке отрыва в форме:

$$\frac{u}{U} = \bar{u} = \sqrt{\bar{z}}. \quad (19)$$

Приведенные выше формулы для радиального диффузора совпадают с полученными в [5] для плоского диффузора с положительным градиентом давлений.

Определим параметры турбулентного пограничного слоя. Для этого получим вначале интегральные условия Кармана, как в [1], путем элементарных преобразований системы (1)–(2) и интегрирования по z (1) с помощью (2) и граничных условий (3):

$$\frac{\partial \delta^{**}}{\partial r} + \delta^{**} \left[\frac{U'}{U} (2 + H) \frac{1}{r} \right] = \frac{\tau_0}{\rho U^2}, \quad (20)$$

$$\text{где } \delta^* = \delta \cdot \int_0^1 (1 - \bar{u}) d\bar{z} = \delta \frac{A_1}{x} - \text{толщина вытеснения}; \quad (21)$$

$$\delta^{**} = \delta \cdot \int_0^1 (1 - \bar{u}) \bar{u} \cdot d\bar{z} = \delta \left(\frac{A_1}{x} - \frac{A^*}{x^2} \right) - \text{толщина потери импульса}; \quad (22)$$

$$H = \frac{\delta^*}{\delta^{**}}.$$

A_1 и A_2 — функции формпараметра λ , найденные с помощью (8) и соответственно равны:

$$A_1(\lambda) = \frac{2}{3} \cdot \frac{t^2 + t + 1}{t - 1}, \quad (23)$$

$$A_2(\lambda) = \frac{2t^3 + 2t^2 + 6t - 2}{3(t + 1)} + \frac{8}{3(t^2 - 1)} [\ln(1 + t) - \ln 2], \quad (24)$$

где $t = \sqrt{1 + \lambda}$.

При $\lambda = 0$, $A_1 = 1$; $A_2 = 2$.

Отношения условных толщин будут иметь вид:

$$H^* = \frac{\delta^*}{\delta} = \frac{A_1}{x}; \quad H^{**} = \frac{\delta^{**}}{\delta} = \frac{A_1}{x} - \frac{A_2}{x^2}; \quad H = \frac{\delta^*}{\delta^{**}} = \frac{1}{1 - \frac{A_2}{A_1} \cdot \frac{1}{x}} \quad (25)$$

В точке отрыва (где λ обращается в бесконечность), если использовать (19) для (21) и (22), получим:

$$H_{\text{отр}}^* = \frac{1}{3}; \quad H_{\text{отр}}^{**} = \frac{1}{6}; \quad H_{\text{отр}} = 2. \quad (26)$$

Используя соотношения (25б), исключим δ из закона сопротивления:

$$R_* = \frac{v_* \cdot \delta}{v} = \frac{k}{x} \cdot \frac{R^{**}}{H^{**}}, \quad (27)$$

где

$$R^{**} = \frac{U \cdot \delta^{**}}{v}; \quad x = \frac{k \cdot U}{v_*}$$

и выражение (13) примет вид:

$$x - \frac{\alpha^2}{2} \frac{\lambda}{R^{**}} \left(A_1 - \frac{A_2}{x} \right) + 2 \sqrt{1 + \frac{\alpha}{k} \cdot \frac{\lambda}{R^{**}} \left(A_1 - \frac{A_2}{x} \right)} + \ln \frac{\sqrt{1 + \frac{\alpha}{k} \cdot \frac{\lambda}{R^{**}} \left(A_1 - \frac{A_2}{x} \right)} - 1}{\sqrt{1 + \frac{\alpha}{k} \cdot \frac{\lambda}{R^{**}} \left(A_1 - \frac{A_2}{x} \right)} + 1} = \psi(\lambda), \quad (28)$$

где

$$\psi(\lambda) = k \cdot x + 2 \sqrt{1 + \lambda} + \ln \frac{\sqrt{1 + \lambda} - 1}{\sqrt{1 + \lambda} + 1}$$

Необходимо отметить, что все полученные формулы справедливы при всех положительных и небольших отрицательных градиентах, а при $\lambda < -1$ теряют смысл. Уравнение (28) служит для определения параметров (25) и коэффициента C_f в виде семейств кривых, что понадобится в дальнейшем при интегрировании (20).

$$c_f = 2 \frac{k^2}{x^2} = c_f(R^{**}, \lambda); \quad (a)$$

$$H^* = \frac{A_1(\lambda)}{x} = H^*(R^{**}, \lambda); \quad (б)$$

$$H^{**} = \frac{A_1(\lambda)}{x^2} - \frac{A_2(\lambda)}{x^2} = H^{**}(R^{**}, \lambda); \quad (в) \quad (29)$$

$$H = \frac{H^*}{H^{**}} = \frac{1}{1 - \frac{A_2}{A_1} \cdot \frac{1}{x}} = H(R^{**}, \lambda). \quad (г)$$

Из соотношений (29) можно исключить параметр λ с помощью:

$$P = -\frac{\bar{U}'}{\bar{U}^2} \cdot \frac{1}{Re_0} = \frac{\lambda \cdot \frac{k^2}{x^2} \cdot H^{**}}{R^{**}} = f(R^{**}, \lambda), \quad (30)$$

где

$$\bar{U} = \frac{U'}{U_0}, \quad \bar{U}' = \frac{d\bar{U}'}{dr}, \quad Re_0 = \frac{U_0 r_0}{\nu},$$

после чего получим необходимые для вычисления функции, уже от параметров R^{**} и P . Теперь приступим к интегрированию уравнения (20), которое сначала приведем к безразмерному виду:

$$\frac{\partial R^{**}}{\partial r} + R^{**} \left[\frac{\bar{U}'}{\bar{U}} \cdot B + \frac{1}{r} \right] = Re_0 \cdot \bar{U} \cdot A, \quad (31)$$

где

$$R^{**} = \frac{U' \cdot \delta^{**}}{\nu}, \quad \bar{r} = \frac{r}{r_0}, \quad A = \frac{k^2}{x^2} = \frac{1}{2} C_f, \quad B = 1 + H, \quad \bar{U} = \frac{U'}{U_0}.$$

Для дальнейшего вычисления представим $A = A_0 + \Delta A$ и $B = B_0 + \Delta B$, где A_0 и B_0 определяются из условия $\lambda = 0$, т. е. при нулевом продольном градиенте, а ΔA и ΔB — как некоторые поправки; далее, умножив (31) на \bar{U}^B , можно привести последнее уравнение (31) к виду:

$$\frac{\partial}{\partial r} (\bar{U}^{B_0} \cdot R^{**}) = \frac{A_0 Re_0 \cdot \bar{r}^{B_0}}{\bar{r}} \left[1 - \frac{1}{A_0} (\Delta A + \Delta B \cdot P \cdot R^{**} - \frac{H^{**}}{Re}) \right]. \quad (32)$$

Проинтегрировав последнее выражение по \bar{r} , получим:

$$R^{**} = \frac{1}{\bar{r}^{B_0}} \left\{ A_0 Re_0 \int_1^{\bar{r}} \bar{U}^{B_0-1} [1 + F(R^{**}, P, Re)] d\bar{r} + \bar{U}^{B_0} \cdot R_0^{**} \right\}, \quad (33)$$

где

$$F(R^{**}, P, Re) = \frac{1}{A_0} \left(\Delta A + \Delta B \cdot P \cdot R^{**} - \frac{H^{**}}{Re} \right).$$

Это интегральное уравнение решается методом последовательных приближений, так как при внутренней задаче имеется значительное влияние пограничного слоя на ядро течения, и вначале нам неизвестен закон изменения скорости в последнем. Поэтому мы должны задаться каким-либо приближенным законом $\bar{U} = \bar{U}(\bar{r})$. Полагая $F = 0$ и по принятой зависимости $\bar{u} = \bar{u}(\bar{r})$, определяем по уравнению (33) R_1^{**} (первое приближение), после чего определяем поправки ΔA , ΔB и F . Затем, взяв для второго приближения $F(R^{**}, P, Re) = F(R_1^{**}, P, Re)$, после графического интегрирования (33) находим R_2^{**} . Далее продолжаем этот процесс до совпадения двух последних просчетов.

Как уже говорилось выше, в качестве A_0 и B_0 примем значения функций A и B при нулевом продольном градиенте и при

средних значениях R^{**} . Вид функций $A = A(R^{**}, P)$ и $B = B(R^{**}, P)$ может быть установлен из (28). Так как все входящие в эти выражения величины являются функциями λ и x , то при заданном значении параметра λ число $R^{**} = R^{**}(x)$; и эти величины будут функциями R^{**} и λ . Необходимые для расчета зависимости представлены в (29).

Ввиду того, что распределение скорости в ядре течения не может быть вычислено из расчета потенциального течения, то примем закон $\bar{u} = \bar{u}(r)$ из следующих соображений. Запишем уравнение постоянства расхода для нашего случая (см. фиг. 1) в виде:

$$2\pi \cdot r_0 \cdot U_0 \cdot h_0 = 2\pi r \left[U \cdot (h - \delta) + \int_{z=2\delta}^{z=h} u \cdot dz \right] = 2\pi r \cdot U \cdot h \cdot \left(1 - \frac{\delta^*}{h} \right),$$

где левая часть — расход через входное сечение диффузора, а правая — расход через цилиндрическое сечение на расстоянии, или

$$\bar{U}(\bar{r}) = \frac{1}{\bar{r} \cdot \bar{h} \cdot (1 - \frac{\delta^*}{h})}, \quad (34)$$

где

$$\bar{U}(\bar{r}) = \frac{U}{U_0}, \quad \bar{h} = \frac{h}{h_0}, \quad \frac{\delta^*}{h} = \frac{\delta^*}{h}.$$

Полагая для первого приближения $\bar{\delta}^* = 0$, получим закон изменения скорости в ядре течения в зависимости от r :

$$\bar{U}(\bar{r}) = \frac{1}{\bar{r} \cdot \bar{h}}. \quad (35)$$

В случае диффузора, образованного двумя дисками:

$$\bar{U}_1(\bar{r}) = \frac{1}{\bar{r}}. \quad (35a)$$

Принятие формулы (35 а) для слабо расширяющегося канала имеет практический смысл: в данном случае возможно сужение ядра, что может даже привести к увеличению скорости в нем, и, пренебрегая изменением h в (35 а), мы тем самым сократим число приближений при решении (33), так как будем ближе к действительности, чем приняв закон (35). Итак, приняв (35 а), с помощью (33) определяем δ_1^* первого приближения, после чего находим новый закон изменения скорости вдоль радиуса $\bar{U} = \bar{U}_2(\bar{r})$ и определяем δ_2^* второго приближения. Этот процесс продолжаем до совпадения двух последних просчетов.

Для вычисления полного коэффициента потерь воспользуемся тем же приемом, что и в [6], то есть через параметры пограничного слоя. Только при этом надо учесть, что $\frac{h_0}{r_n}$ должно быть достаточно велико, чтобы не было участка стабилизированного течения, которое здесь не рассматривается, и при условии безотрывного пограничного слоя.

ЛИТЕРАТУРА

1. Л. Г. Лойцянский. Аэродинамика пограничного слоя, ОГИЗ, Л.-М., 1941.
 2. А. С. Гиневский, Е. Е. Солодкин. Влияние поперечной кривизны поверхности на характеристики осесимметричного пограничного слоя. Прикладная математика и механика, т. XXII, вып. 6, 1958.
 3. Г. П. Ден. Пограничный слой в безлопаточном диффузоре». ИВУЗ. Серия «Энергетика», № 5, 1961.
 4. К. К. Федяевский, А. С. Гиневский. Метод расчета турбулентного пограничного слоя при наличии продольного градиента давлений. Журнал технической физики, т. XXVII, вып. 2, 1957.
 5. А. С. Гиневский. Расчет потерь в расширяющихся и сужающихся каналах. Промышленная аэродинамика, вып. 7, ВНИ ЦАГИ, 1956.
-